

مجتبی سنگ، رضا آلانی

مرکز تحقیقات هسته‌ای

سازمان انرژی اتمی

چکیده

کاربرد آلیاژهای آلومینیوم در تکنولوژی هسته‌ای بطور گسترده‌ای متدالول است. در این پژوهه تحقیقاتی رفتار خوردگی آلیاژهای ۱۰۵۰ و ۱۱۰۰ آلومینیوم ساخت ایران در آب تهیه شده از خروجی تیادل کننده یونی راکتور تحقیقاتی مرکز تحقیقات هسته‌ای در درجه حرارت‌های آزمایشگاه و 50°C بررسی گردیده است.

تغییرات میزان خوردگی با تغییرات pH و حضور یونهای سولفات، نیترات، آمونیم و سدیم اندازه‌گیری شده است. همچنین تغییرات میزان خوردگی با زمان، در قلب راکتور در مجاورت میله‌های سوخت بررسی گردیده است. آنودایزینگ به عنوان یک روش محافظت در برابر خوردگی نیز مورد مطالعه قرار گرفته و همچنین اثر یون کلرید در ایجاد خوردگی حفره‌ای آزمایش گردیده است. برای اندازه‌گیری میزان و رفتار خوردگی این آلیاژها از روش تغییر وزن و روشهای متدالول متابولوگرافی استفاده شده است. به منظور مطالعه ماهیت محصولات خوردگی سطحی تعدادی از نمونه‌ها در میکروسکپ الکترونی عبوری مورد آزمایش قرار گرفت.

نتایج این پژوهه نشان می‌دهد که میزان خوردگی بستگی به درجه خلوص آلیاژ درجه حرارت و pH محیط‌های آبی دارد. آنودایزینگ در کاهش میزان خوردگی موثر می‌باشد. همچنین خوردگی حفره‌ای شدیدی توسط یون کلرید در محلولهای آبی ایجاد می‌شود. مطالعات با دیفراکسون (پراش) الکترونی نشان داد که فازهای آلومین گاما، بوهمیت و سایریت به عنوان محصولات خوردگی در سطح آلیاژهای خورده شده ایجاد گردیده است.

مقدمه:

یکی از فاکتورهای مهم در طراحی راکتورهای هسته‌ای، رفتار مواد مورد استفاده در راکتور با محیط اطراف آنها می‌باشد. این رفتار که معمولاً "بصورت خوردگی ظاهر می‌شوند" چنانچه‌شناسائی گردند، در انتخاب مواد، نگهداری و مراقبت آنها در طول عمر راکتورهای هسته‌ای راهنمایی لازم را ارائه می‌دهند. اهمیت این شناخت از آنجا ناشی می‌شود که خارتهای حاصل از خوردگی مسائل عمدی را ایجاد می‌نماید که به عنوان مثال می‌توان از موارد زیر نام برد.

۱- نفوذ محصولات فیسیون به خارج از میله‌های سوخت از محلهای خورده شده.

۲ - مشکلات ناشی از عدم انتقال کافی حرارت از میله‌های سوخت به خنک کننده بعلت ایجاد محصولات خوردگی، که نتیجه آن بالا رفتن درجه حرارت میله‌های سوخت می‌باشد.

۳ - تداخل خنک کننده‌های مدارهای اولیه و ثانویه که بر اثر خوردگی تبادل کننده‌های حرارتی بوجود می‌آید و باعث آلودگی محیط راکتور و خروج مواد رادیواکتیو به خارج می‌شود.

۴ - از لحاظ اقتصادی نیز از رده خارج شدن میله‌های سوخت خورده شده مقرنون بد صرفه نمی‌باشد.

یکی از موادی که در راکتورهای هستدای کاربرد زیادی دارد، آلیازهای آلومینیوم می‌باشد. آلومینیم به علت داشتن سطح مقطع جذب بسیار کم برای نوترونهاي حرارتی، مقاومت در برابر خوردگی و بهای ارزان دارای مشخصات ویژه‌ی می‌باشد. در بسیاری از راکتورهای تحقیقاتی و راکتورهای کم قدرت مانند راکتورهای ازنوع ^{*}A.T.R ، ^{**}M.T.R ، ^{***}CANDU ، ^{****}S.G.H.W.R. ، ^{**}H.F.I.R فرمتهای مختلف از جمله غلاف سوخت، قلب راکتور، لولهای انتقال دهنده خنک کننده و تبادل کننده‌های حرارتی استفاده می‌شود. شرایط مطلوب کار برای این گونه مدارات که از آلیازهای آلومینیوم ساخته شده از نظر خوردگی در ۲۵ سال گذشته همیشه مورد بحث بوده است.

آلیازهای مختلف آلومینیوم که در راکتور تحقیقاتی مرکز تحقیقات هسته‌ای بکار برده شده در جدول الف نشان داده شده است.

برای استفاده از آلیازهای آلومینیوم تولید داخلی، در تکنولوژی هسته‌ای کشور، خواص این آلیازها بخصوص در رابطه با مسئله خوردگی در محیط‌آبی باید مورد بررسی قرار گیرد. در این بررسی از آلیازهای ۱۰۵۰ و ۱۱۰۰ آلومینیوم ساخت ایران که کاربرد زیادی در تهیه پوشش سوخت و تبادل کننده‌های حرارتی دارند، استفاده گردیده است.

* Material Testing Reactor

** Advanced Test Reactor

*** High Flux Isotope Reactor

**** Steam Generating Heavy Water Reactor

Materials	Description
Aluminum melt stock	ASTM B209, ALLOY 1060 (ALCOA CE-86)
Cladding material (frames, covers and dummy- plates)	ASTM B209, ALLOY 1100
Side plates	ASTM B209, ALLOY 6061-T6
Handles	ASTM B209, ALLOY 6061-T6
End Fittings	ASTM B26, ALLOY (356-T6)
Guide tubes	ASTM B211, ALLOY 6063-T42
Shock absorber seats	ASTM B211, ALLOY 6061-T6

جدول الف - آلیازهای مختلف آلومینیوم و قسمتهایی از راکتور که از این آلیازها استفاده گردیده است .

روش کار

روشهای کار مورد استفاده در انجام این طرح را می توان به سه گروه تنظیم نمود .

- آزمایش‌های کنترل کیفیت شامل آنالیز شیمیائی ، اندازه‌گیری استحکام و متالوگرافی .
- آزمایش‌های خوردگی شامل اندازه‌گیری تغییرات میزان خوردگی در دمای آزمایشگاه و دمای $50^{\circ}C$ با تغییرات pH در حضور یونهای سولفات ، نیترات ، آمونیم و سدیم .
- اندازه‌گیری تغییرات میزان خوردگی با گذشت زمان در قلب راکتور در مجاورت میله‌های سوخت ، اندازه‌گیری میزان خوردگی نمونه‌های آنودایز شده در pH ۳ در حضور یون نیترات و بررسی اثر یون کلرید در محیط اسیدی در ایجاد خوردگی حفره‌ای .
- آزمایش‌های تعیین ماهیت محصولات خوردگی : شامل شناسائی محصولات خوردگی توسط میکروسکوب الکترونی عبوری .

۱- کنترل کیفیت :

برای آنالیز شیمیائی از روشهای جذب اتمی و کواننتومتری استفاده گردید ، و استفاده‌های دو روش بد علت محدودیت‌هایی بوده که برای برخی از عنصر در هر دو روش وجود داشته است .

برای اندازه‌گیری استحکام از دستگاه Instron ۲/۵ تن در تعیین مقاومت کششی،
تنش تسلیم، و درصد ازدیاد طول، استفاده گردیده است.
برای متالوگرافی نمونه‌ها از میکروسکپ اپتیک Leitz-MM6 و روش‌های متداول
متالوگرافی استفاده شد. (۱)

۲- خوردگی:

اندازه‌گیری میزان خوردگی به روش وزنی بكمک روش‌های استاندارد (۲، ۳، ۴، ۵) انجام گرفت و برای مطالعه میکروسکوپی نمونه‌ها نیز از میکروسکپ اپتیک Leitz-MM6 استفاده شد. دامنه تغییرات pH از ۳ تا ۸/۷ بوده و زمان هر آزمایش برای اندازه‌گیری میزان خوردگی در آزمایش حدوداً ۵ شبانه‌روز بوده است.
آب تهیه شده از خروجی تبادل کننده‌های یونی راکتور دارای مشخصات زیر است:
pH ۵/۸ و قابلیت هدایت $10^{-1} \text{ A} / (0/5 - 0/3 \text{ Ohm})$ و تنظیم pH های مختلف توسط اسید سولفوریک، اسید نیتریک، هیدروکسید آمونیم و هیدروکسید سدیم انجام گرفت.

برای اندازه‌گیری میزان خوردگی در قلب راکتور نمونه‌هایی در مجاورت میله‌های سوخت در زمانهای از ۵ تا ۱۲۶ روز قرار داده شد. توضیح اینکه راکتور در این مدت خاموش بوده است.

برای بررسی خوردگی حفره‌ای ناشی از یون کلرید، نمونه‌هایی به مدت ۵ شبانه‌روز در دمای آزمایشگاه در اسید کلریدریک ۰/۵٪ نرمال قرار گرفت.

۳- میکروسکپ الکترونی:

با استفاده از روش‌های استاندارد تهیه نمونه (۶) برای استفاده از میکروسکپ الکترونی عبوری نمونه‌هایی تهیه شد. نمونه‌ها در آب و بخار آب ۵۰°C و ۸۰°C قرار گرفت و پیاز زمانهای متفاوت با میکروسکپ الکترونی عبوری TEM-SCAN JEOL 100C مورد آزمایش قرار گرفت.

یافته‌ها و بررسی آنها:

نتایج حاصله از این پژوهش در سه قسمت ارائه می‌گردد.

۱- نتایج بدست آمده از آزمایشات کنترل کیفی:

۱-۱- تجزیه نمونه‌ها.

نتایج تجزیه نمونه آلیاژهای ۱۰۵۰ و ۱۱۰۰ در حدود (۱-۱) منعکس می‌باشد. مجموع ناخالصی‌ها برای آلیاژ ۱۱۰۰ ۹۴٪ و در نتیجه خلوص آن ۹۹٪ می‌باشد.

مجموع ناخالصی‌ها برای آلیاژ ۱۰۵۰، ۱۰۵۰/۶۲، ۱۰۵۰ و در نتیجه خلوص آن ۹۹/۳۸٪ می‌باشد. نکته قابل توجه در این نتیجه مقدار عناصر سمی برای نوترون در این آلیاژها می‌باشد. برای عناصر کادمیم و لیتیم که دارای سطح مقطع جذب نوترون ترمال زیاد می‌باشند، این آلیاژها دارای مقدار کمی از این دو عنصر می‌باشند ولی عنصر بر (B) که دارای سطح مقطع جذب نوترون ترمال بسیار بالایی است و دارای اهمیت فوق العاده‌ای از لحاظ "درجه خلوص هسته‌ای" * می‌باشد، در این آلیاژها زیاد است، که می‌تواند این آلیاژها را از رده درجه خلوص هسته‌ای خارج سازد.

نام آلیاژ و مقدار آن در نوع آلاز	Si	Fe	Cu	Mn	Mg	Ti	Ca	Ni	Cr	Zn	B	V	C.J	...	جیم لادجنس
۱۱۰۰	۰/۲۱	۰/۴۶	۰/۰۶	۰/۰۷	۰/۱	۰/۰۲	۰/۰۱	-	-	-	۰/۰۰۴۲	۰/۰۰۶۹	۰/۰۰۰۴	-	۰,۹۴
۱۰۵۰	۰/۱۶	۰/۲۷	۰/۰۲	۰/۰۲	۰/۰۳	۰/۰۱	-	-	-	-	۰/۰۰۲۳	۰/۰۰۴۹	۰/۰۰۰۴	-	۰,۶۲

جدول ۱-۱ تجزیه نمونه‌های ۱۱۰۰ و ۱۰۵۰

۱-۲- آزمایشات کشش

این آزمایشات در مورد آلیاژهای ۱۰۵۰ و ۱۱۰۰ بوسیله دستگاه کشش Instron انجام گرفت و نتایج در جدول شماره (۲-۱) مشاهده می‌گردد.

نوع آلیاژ	Y.P.	U.T.S	Δ1/1
۱۰۵۰	۲۱۵۰۰psi	۲۴۰۰۰psi	۵%
۱۱۰۰	۳۰۰۰۰psi	۲۲۵۰۰psi	۷%

جدول ۲-۱ نتایج حاصل از آزمایش کشش مقایسه با استانداردهای بین‌المللی (۲) نشان می‌دهد که این آلیاژها سخت‌تر از استانداردهای بین‌المللی می‌باشند.

* درجه خلوص هسته‌ای (Nuclear Grade) با Total equivalent boron content (TEBC) بیان می‌شود.

۳-۱- متالوکرافی

مقدار و توزیع ناخالصی‌های موجود در آلیاژهای ۱۰۵۰ و ۱۱۰۰ بصورت دریافت شده از کارخانه در شکل‌های ۱-۱ و ۲-۱ نشان داده شده است.

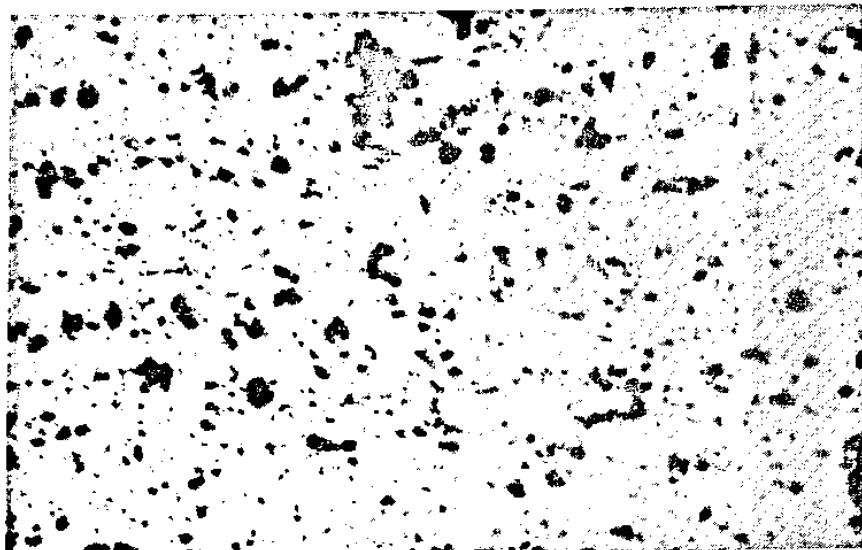
۲- نتایج آزمایشات خوردکی

۲-۱- نتایج اندازه‌گیری میزان خوردکی بر حسب pH

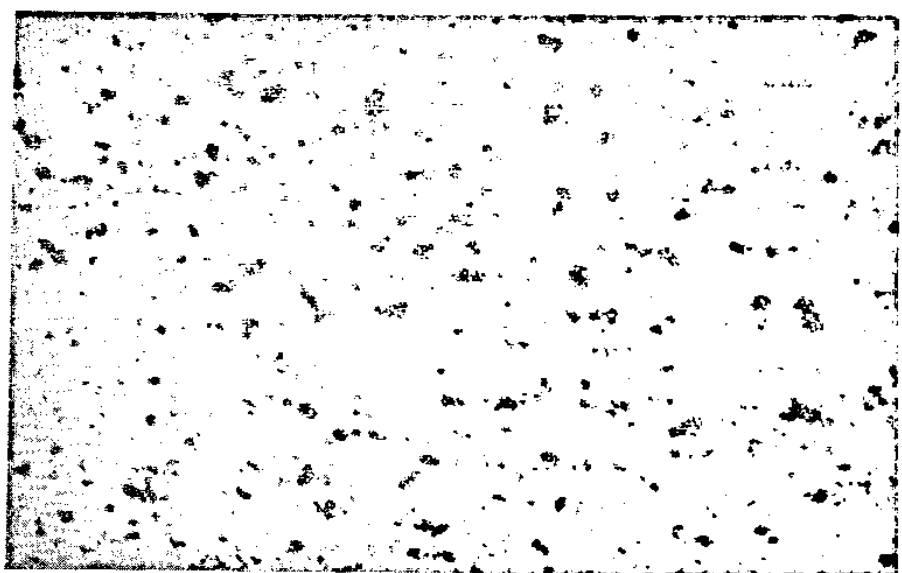
تفییرات میزان خوردکی آلیاژهای ۱۰۵۰ و ۱۱۰۰ بر حسب pH در دماهای آزمایشگاه و 50°C با بیونهای مختلف در منحنی‌های ۱-۲ تا ۴-۲ آمده است.
بررسی یافته‌ها نشان می‌دهد که :

۱- در تمام آزمایشها، منحنی تغییرات میزان خوردگی آلیاژ ۱۰۵۰ پائین‌تر از آلیاژ ۱۱۰۰ فرار دارد. این نتیجه، مقاومت خوردکی بیشتر آلیاژ ۱۰۵۰ را نسبت به آلیاژ ۱۱۰۰ نشان می‌دهد. منحنی‌های ۱-۲ تا ۴-۲.

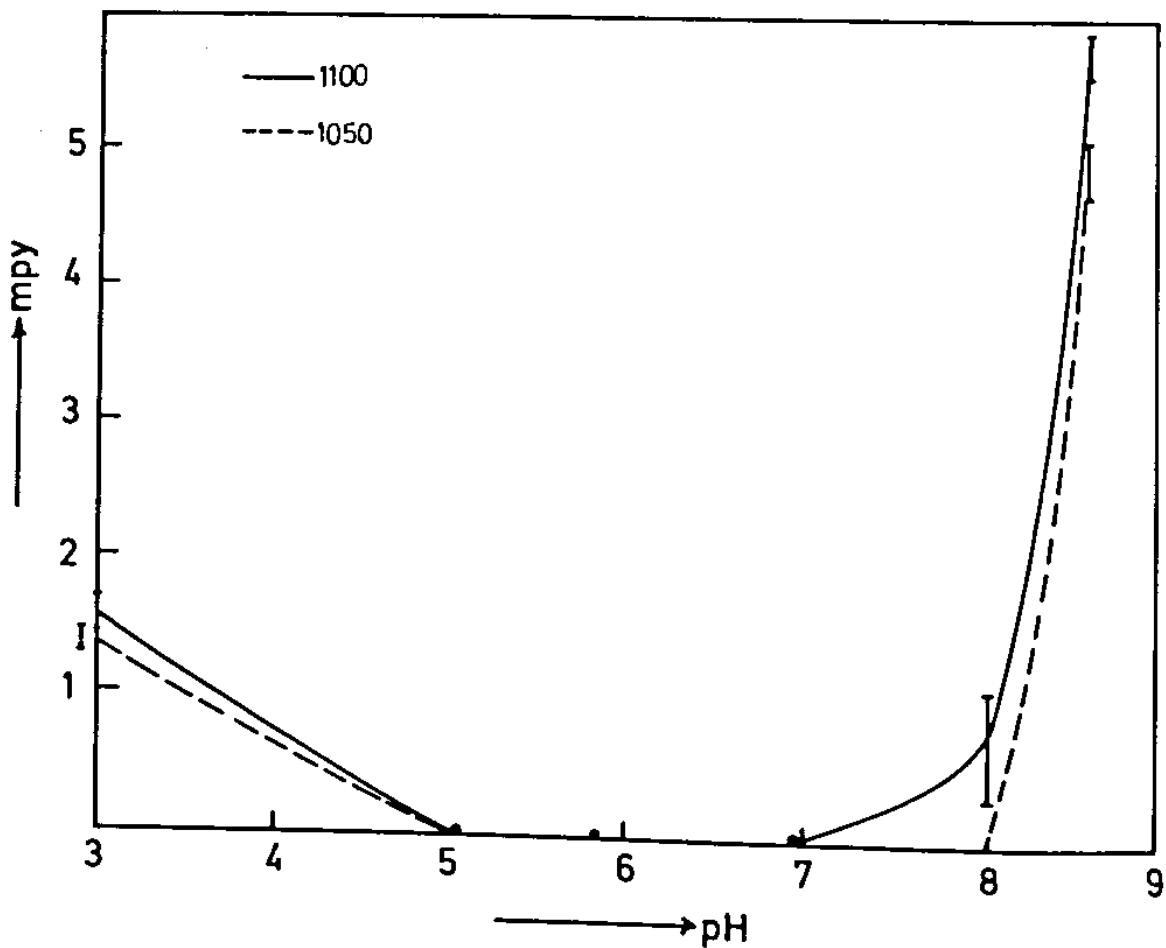
۲- مقایسه منحنی‌های ۱-۲ و ۲-۲ با منحنی‌های ۳-۲ و ۴-۲ ناشی از افزایش میزان خوردکی این آلیاژها را نشان می‌دهد. افزایش درجه حرارت باعث افزایش میزان خوردکی کردیده است.



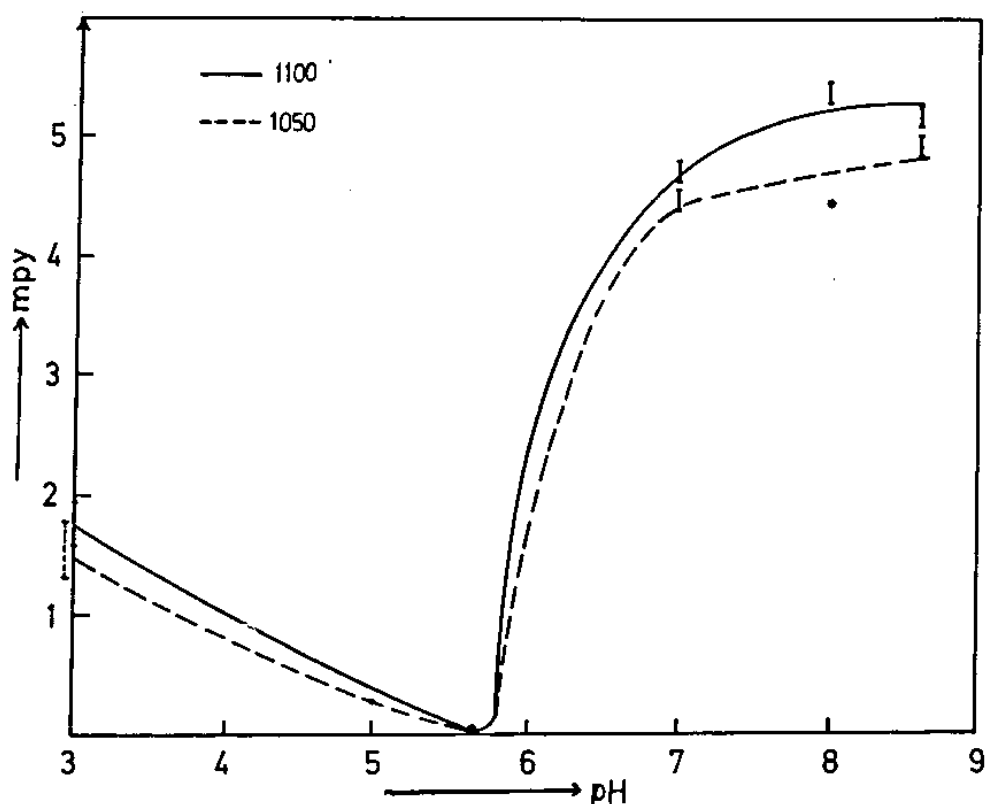
شکل ۱-۱ توزیع ناخالصی‌های آلیاژ ۱۱۰۰ در شتنمایی ۵۰۰



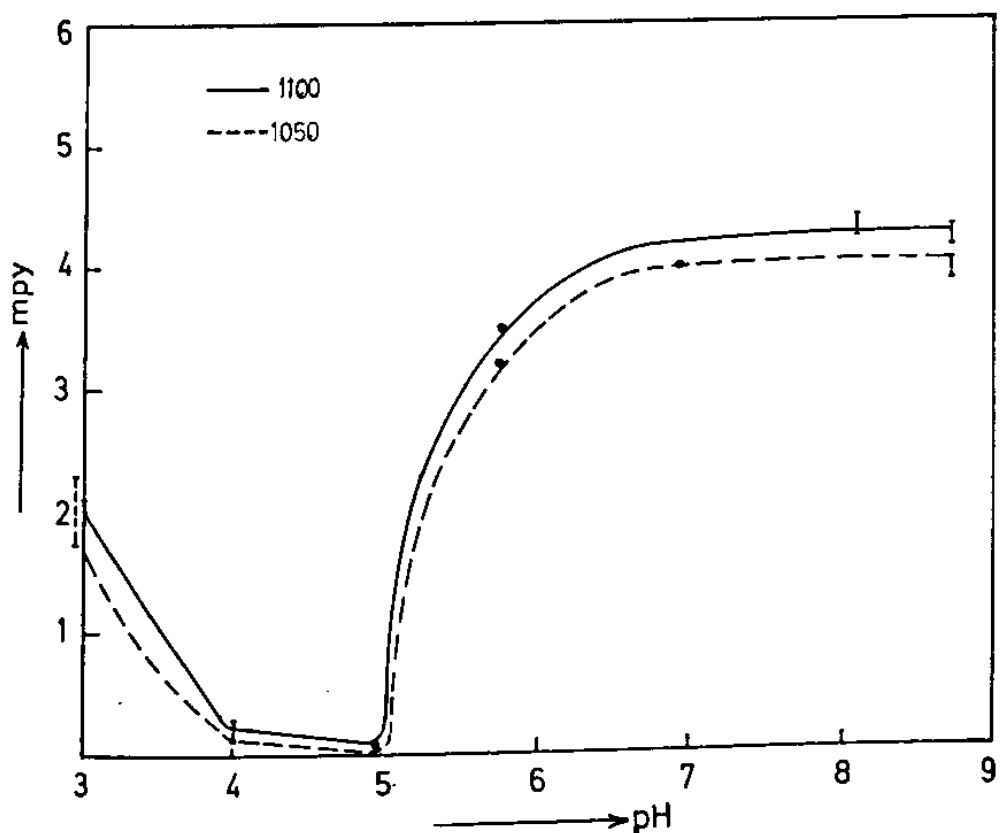
شکل ۲-۱ توزیع ساختارهای آلیاژ ۱۰۵۰ در دستگاهی ۵۰۰



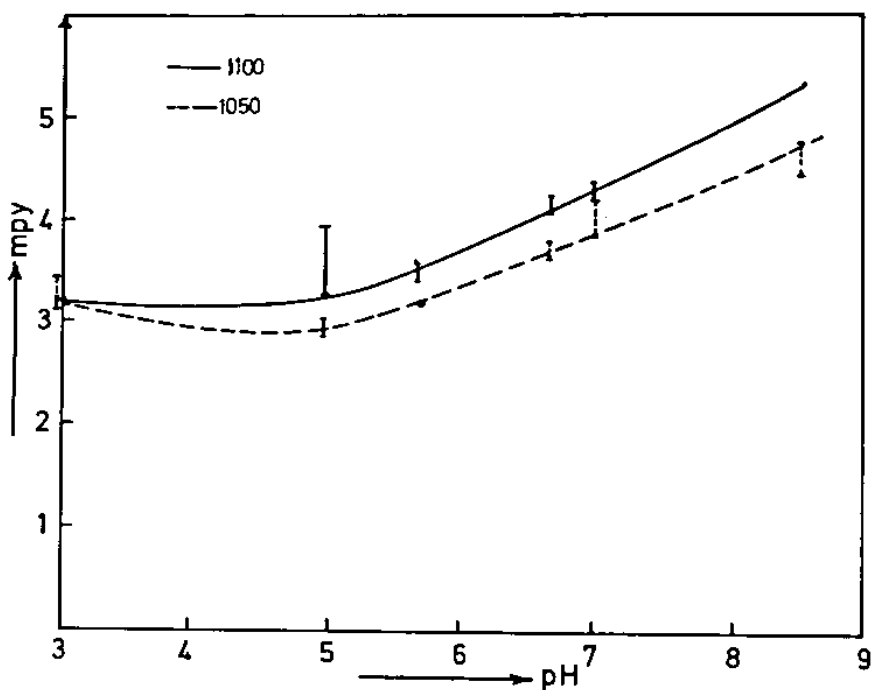
محلی ۲-۱ نفیراب میزان خوردگی آلیاژهای ۱۱۰۰ و ۱۰۵۰ بر حسب pH در دمای آزمایشکار $5/8$ m نوسط اسید سولفوریک و $5/8$ m نوسط هیدروکسید سدیم سطح کردیده است.



محی ۲-۲ تغییرات میزان خوردگی آلیاژهای ۱۱۰۰ و ۱۰۵۰ بر حسب pH آب در دمای آزمایشکارهای $5/8 < pH < 5/8$ توسط اسید نیتریک و $pH > 5/8$ توسط هیدروکسید آمونیم تنظیم گردیده است.



محی ۲-۳ تغییرات میزان خوردگی آلیاژهای ۱۱۰۰ و ۱۰۵۰ بر حسب pH آب در دمای $50^{\circ}C$ توسط اسید سولفوریک و $pH < 5/8$ توسط هیدروکسید آمونیم تنظیم گردیده است.



منحنی ۴-۲ تغییرات میزان خوردگی آلیاژهای ۱۱۰۰ و ۱۰۵۰ pH آب در دمای ۵۰°C
۵/۸ < pH توسط اسید نیتریک و ۵/۸ > pH توسط هیدروکسید سدیم تنظیم گردیده است.

۳ - مقایسه منحنی های ۱-۲ با ۲-۲ و ۳-۲ با ۴-۳ اثر ممانعت کنندگی یون سولفات را نشان می دهد که به میزان قابل توجهی میزان خوردگی را کاهش داده است. این رفتار قبلاً "نیز مشاهده گردیده است (۹۸)" که تأیید نتایج حاصل از این بررسی است.

۴ - منحنی های ۳-۲ و ۴-۳ مینیمم خوردگی در درجه حرارت ۵۵°C را در ۵ pH نشان می دهد که این رفتار نیز قبلاً "گزارش شده است (۱۰ و ۱۱)." .

۵ - منحنی های ۱-۲ و ۲-۲ مینیمم خوردگی در درجه حرارت آزمایشگاه را در ۵/۸ pH نشان می دهد که این رفتار نیز قبلاً " مشاهده شده است (۱۲)." .

۶ - نمونهای که در ۵۵°C آزمایش شدند، در کلیه آزمایشها به استثناء نمونههایی که در ۵ pH (تنظیم شده توسط اسید سولفوریک) قرار داشتند از یک لایه اکسید آلومینیم سفید رنگ پوشیده می شدند.

۲-۲- نتایج آزمایش خوردگی حفره ای
شکل های ۱-۲ و ۲-۲ مقطع خوردگی حفره ای ناشی از یون گلرید در محیط اسیدی ، ایجاد شده بروی آلیاژهای ۱۱۰۰ و ۱۰۵۰ را نشان می دهد .
حفره های عمیق تر در آلیاژ ۱۱۰۰ نشان دهنده مقاومت خوردگی کمتر این آلیاژ در مقابله خوردگی حفره ای می باشد . عمیق ترین حفره در نمونه آلیاژ ۱۱۰۰ (شکل ۲-۱) به اندازه ۱/۰ میلی متر و عمیق ترین حفره در نمونه آلیاژ ۱۰۵۰ (شکل ۲-۲) به اندازه ۲/۰

میلی متر می باشد.

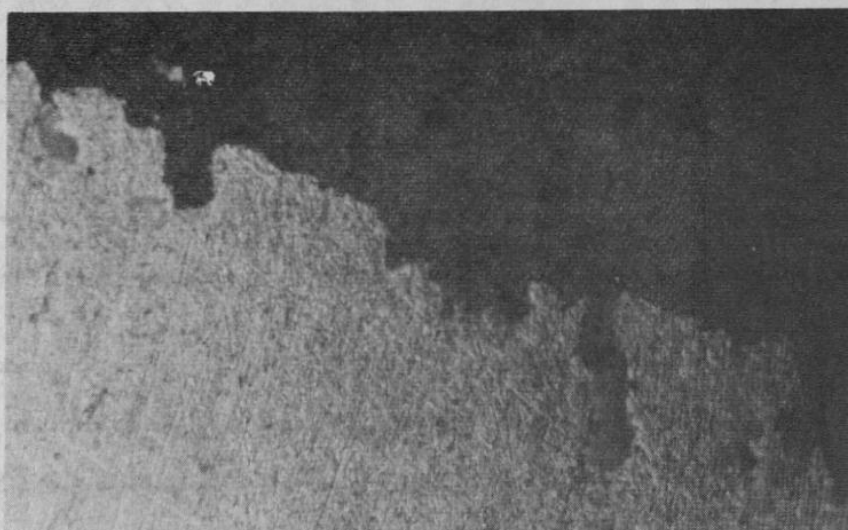
۳-۲ نتایج آزمایش خوردگی آلومینیم آنودایز شده.

جدول ۳-۱ مقایسه بین میزان خوردگی نمونه آنودایز شده و نمونه آنودایز نشده را در شرایط مشابه نشان می دهد.

بررسی نتایج نشان می دهد که آنودایزینگ اثر محسوسی بر خوردگی در pH اسیدی در دمای 50°C بر هر دو آلیاژ 1100 و 1050 دارد.

۴-۲ نتایج آزمایش در استخراج راکتور

منحنی تغییرات میزان خوردگی بر حسب زمان برای آلیاژهای 1100 و 1050 در منحنی های ۵-۲ و ۶-۲ نشان داده شده است.



شکل ۱-۲ مقطع خوردگی حفره‌ای آلیاژ 1100 ناشی از اسید کلریدریک $5\text{/}0\text{/}0\text{/}0$ نرمال در دمای اتاق به مدت ۵ روز در شرایط 200°C .



شکل ۲-۲ مقطع خوردگی حفره‌ای آلیاژ 1050 ناشی از اسید کلریدریک $5\text{/}0\text{/}0\text{/}0\text{/}0$ نرمال در دمای اتاق به مدت ۵ روز در شرایط 200°C .

نوع آلیاز	میزان خوردگی mg/cm ²	زمان ساعت	درجه حرارت سانتیکراد	pH	بیون موجود در محیط
۱۱۰۰	۰/۲۲۹	۱۱۸/۵	۵۰°	۳	NO ₃ ⁻
۱۱۰۰ آندیزه شده	۰/۲۶۵	۱۲۵/۵	۵۰°	۳	NO ₃ ⁻
۱۰۵۰	۰/۲۹۶	۱۱۸/۵	۵۰°	۳	NO ₃ ⁻
۱۰۵۰ آندیزه شده	۰/۲۵۲	۱۲۵/۵	۵۰°	۳	NO ₃ ⁻

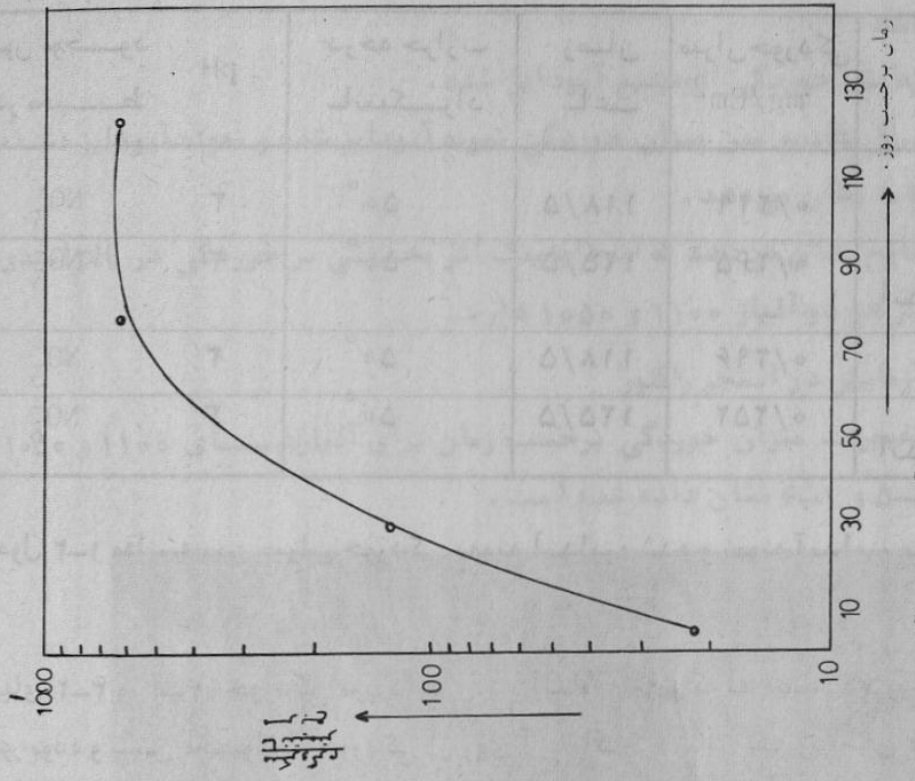
جدول ۱-۳ مقایسه بین میزان خوردگی نمونه آندایز شده و نمونه آندایز نشده.

شکلهای ۳-۲ و ۴-۲ خوردگی مرز دانهای در آلیاز ۱۱۰۰ که به مدت ۷۸ روز در استخر راکتور بوده و سپس محصولات خوردگی از روی آن پاک گردیده است را نشان می‌دهد. شکلهای ۵-۲ و ۶-۲ خوردگی حفره‌ای ایجاد شده در آلیازهای ۱۱۰۰ و ۱۰۵۰ که به مدت ۱۲۴ روز در استخر راکتور بوده‌اند و سپس از محصولات خوردگی پاک گردیده‌اند را نشان می‌دهند.

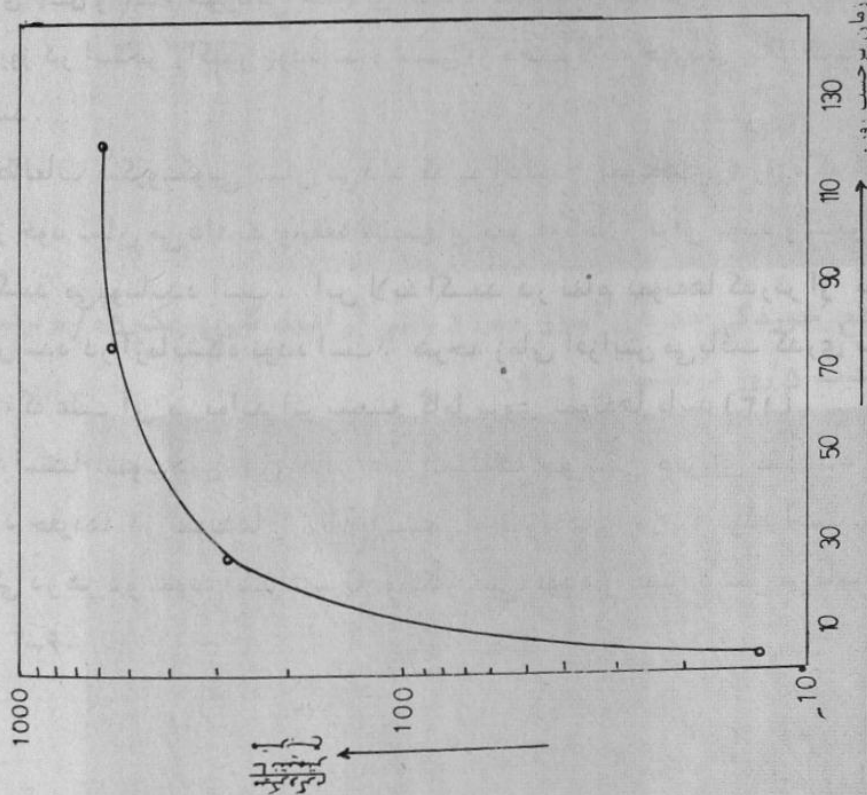
مطالعات میکروسکوپی نشان می‌داد که استثناء نمونه‌های ۴ روزه که خوردگی موضعی کمی از خود نشان می‌دادند و بقیه قسمتهای نمونه، کاملاً "براق بوده و سایر نمونه‌ها را یک لایه اکسید می‌پوشانده است. این لایه اکسید در تمام نمونه‌ها کدرتر از نمونه‌های آزمایش شده در آزمایشکاه بوده است. هرچند زمان افزایش می‌یافتد کدری نمونه‌ها بیشتر می‌شود، که علت آن می‌تواند اثر تشعشع کاما بروی نمونه‌ها باشد (۱۳).

بد استثناء نمونه‌های ۴ روزه در سایر نمونه‌ها خوردگی حفره‌ای مشاهده گردید. اندازه و تعداد حفره‌ها در نمونه‌های ۱۱۰۰ بیشتر از نمونه‌های ۱۰۵۰ بوده است. سرعت میزان خوردگی در هر دو نمونه ابتداً سریع و لکارینمی بوده و سپس کاهش می‌یابد. منحنی‌های

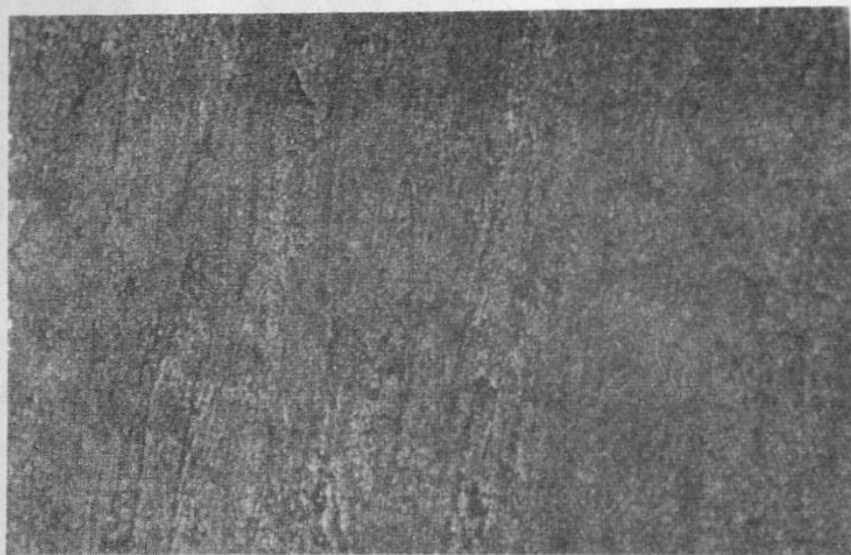
۶-۲ و ۵-۲



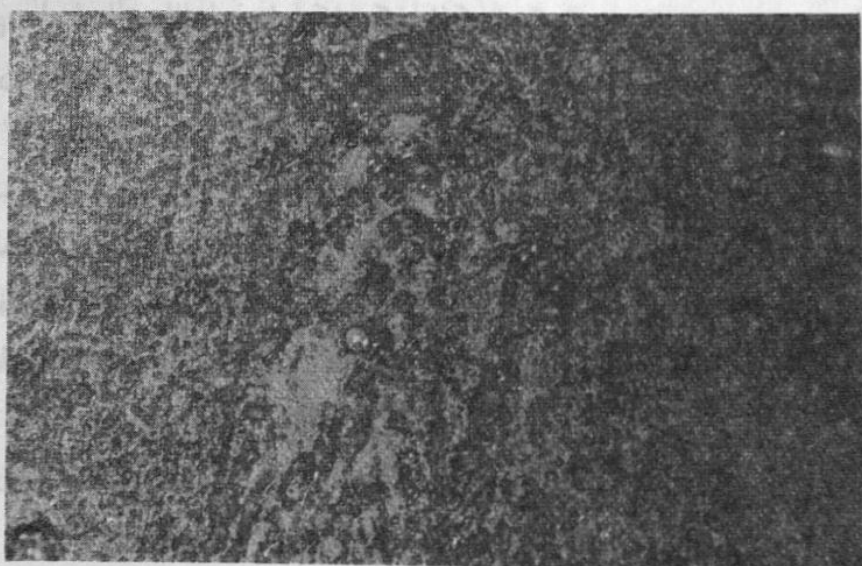
مساحت ۲-۵ : مساحت سپیرا جو زمکی بر حسب رطان، آلساز ۱۱۰ در راکور.



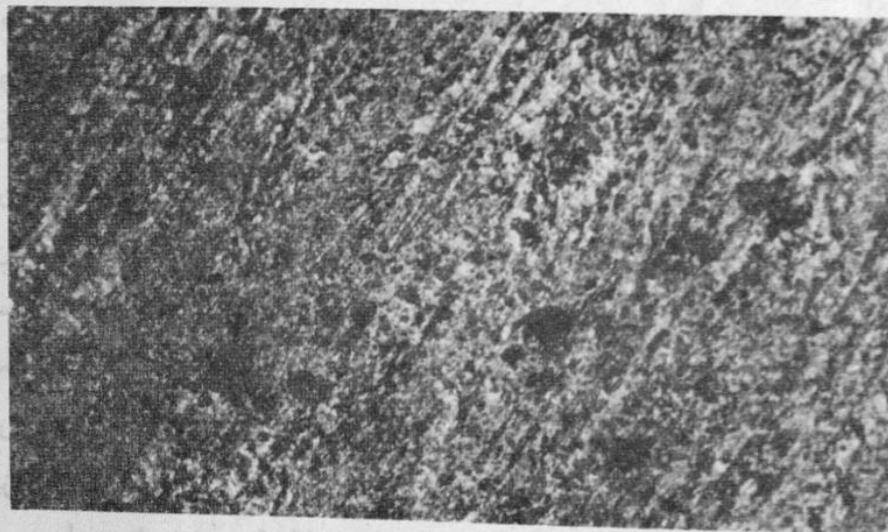
مساحت ۲-۶ : مساحت سپیرا جو زمکی بر حسب رطان، آلساز ۰۵۰ در راکور.



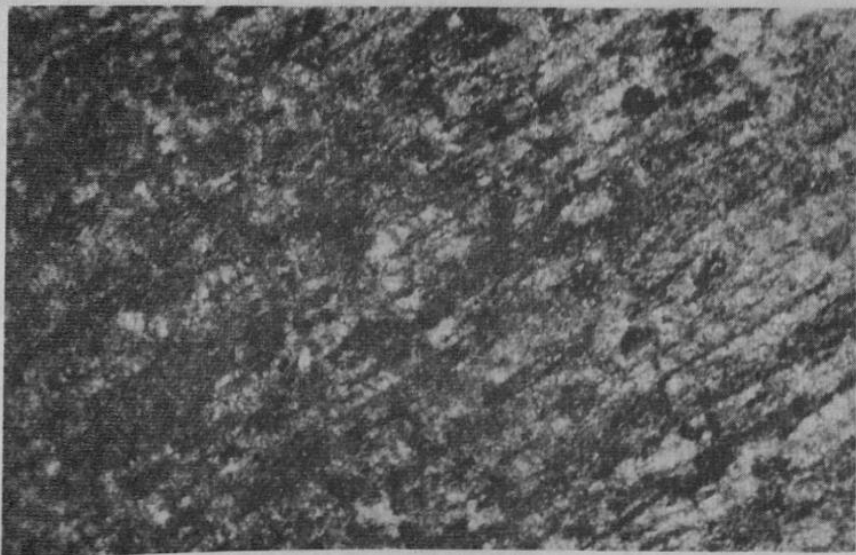
شکل ۳-۲ نشانه‌هایی از خوردگی مرز دانه‌ای در نمونه‌ای از آلیاژ ۱۱۰۰ که مدت ۷۸ روز در استخراج‌رآکتور بوده دیده شد. نمونه از محصولات خوردگی پاک‌گردیده است. درشت‌نمایی ۶۰



شکل ۴-۲ نمونه شکل ۳-۴ با درشت‌نمایی ۲۰۰.



شکل ۴-۵ حفره‌ایجاد شده در آلیاژ ۱۱۰۰ پس از ۲۴ روز رآکتور درشت‌نمایی ۶۰



شکل ۲-۶ خوردگی حفره ایجاد شده در آلیاژ ۱۰۵۰ پس از ۱۲۴ روز در راکتور درشت‌نمایی ۵۰.

۳- نتایج حاصل از مطالعات با میکروسکوپ الکترونی عبوری

گزارش‌های متعددی در مورد نحوه رشد اکسید آلومینیم در آب بعنوان محمول خوردگی، در دماهای مختلف، ارائه شده که هنوز یک روند دقیق و ثابتی برای آن پیدا نشده است. رشد فیلم اکسید در آب پیچیده و از درجه حرارت، یونهای موجود در آب و زمان غوطه‌ور بودن تاثیر می‌پذیرد ولی آنچه که بیشتر مورد تائید قرار گرفته این است که در پائین‌تر از یک درجه حرارت بحرانی که بین $70-90^{\circ}\text{C}$ می‌باشد، رشد اکسید در سه مرحله اتفاق می‌افتد. مرحله اول تشکیل اکسید آمورف (بی‌شکل)، سپس تشکیل بوهمیت و در مرحله سوم تشکیل بایریت است. ولی بالاتر از این درجه حرارت بحرانی فقط بوهمیت است که بروی اکسید آمورف رشد می‌نماید.

شکل ۱-۳ دیفراکسیون الکترونی اکسید تشکیل شده بروی آلیاژ ۱۱۰۰ را که به مدت

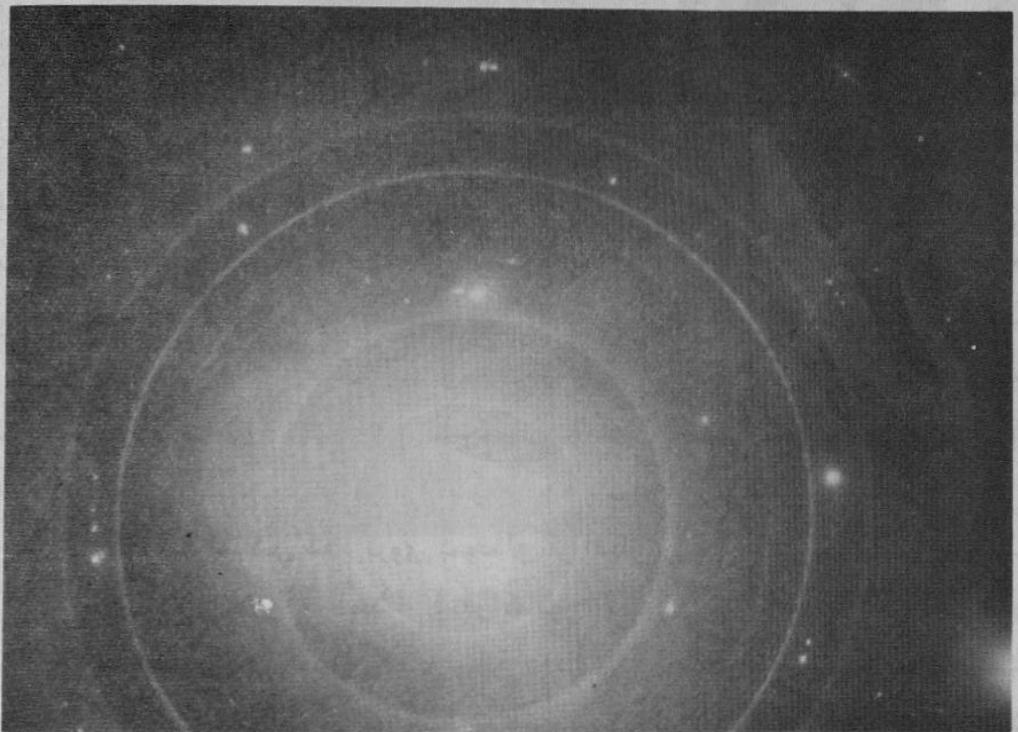
۹۰ ساعت در آب 50°C بوده نشان می‌دهد. این دیفراکسیون الکترونی در بعضی نقاط اکسید ظاهر می‌گردید. در سایر قسمتهای اکسید، دیفراکسیون الکترونی نشان دهنده اکسید آمورف بوده است. اکسید تشکیلی بروی نمونه‌ای از همین آلیاژ در بخار آب 50°C که به مدت ۲۰ ساعت بوده همین دیفراکسیون الکترونی را نشان داده است.

آنالیز این دیفراکسیون که در جدول ۱-۳ ارائه شده نشان می‌دهد که این اکسید Al_2O_3 یا آلومین گاما می‌باشد. علت عدم وجود $d = 1/977$ با شدت نسبی ۱۰۰٪ است به سبب عدم رشد کافی کریستالی این صفحات باشد (۱۴). تشکیل این اکسید بعنوان محصول خوردگی آلومینیم در درجات حرارت متفاوت گزارش شده است. این اکسید در محلول‌های نزدیک به خنثی همیشه وجود دارد (۱۵) تشکیل این اکسید در آب 80°C نیز گزارش شده است (۱۴)، همچنین تشکیل این اکسید در آب $(50-100^{\circ}\text{C})$ نیز گزارش‌گردیده است (۱۶). بطورکلی تشکیل این اکسید در آب 50°C بعنوان محصول خوردگی

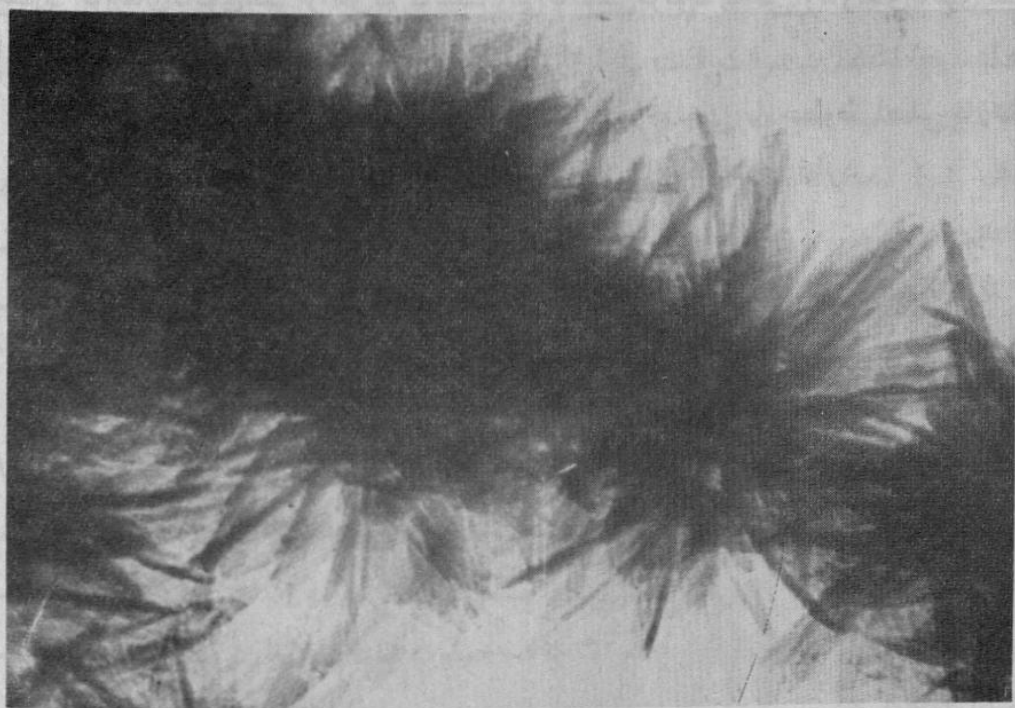
کمتر گزارش شده است.

شکل ۲-۳ اکسید تشکیل شده بروی نمونه‌ای از آلیاژ ۱۱۰۰ که به مدت ۱۸ ساعت در آب ۸۰°C بوده را نشان می‌دهد. دیفراکسیون الکترونی این اکسید در شکل ۳-۳ و آنالیز آن در جدول ۲-۳ نشان داده شده است. بررسی این آنالیز تشکیل بوهمیت یا Al_{10}O_3 -γ را بعنوان تنها محصول کریستالی خوردگی ثابت می‌کند. علت غیاب Al_2O_3 باشد نسبی ۱۰۰ نیز به همان دلیلی است که قبلاً "گفته شده است. تشکیل این اکسید آبدار در آب ۸۰°C بعنوان تنها اکسید آبدار محصول خوردگی آلومینیم در صنایع متعددی کزارش شده است (۱۷، ۸، ۱۹۱۸). نتیجه گرفته شده از این بررسی نشان می‌دهد که نقطه بحرانی تشکیل بوهمیت در مورد آلیاژ ۱۱۰۰ بالاتر از ۸۰°C نمی‌باشد.

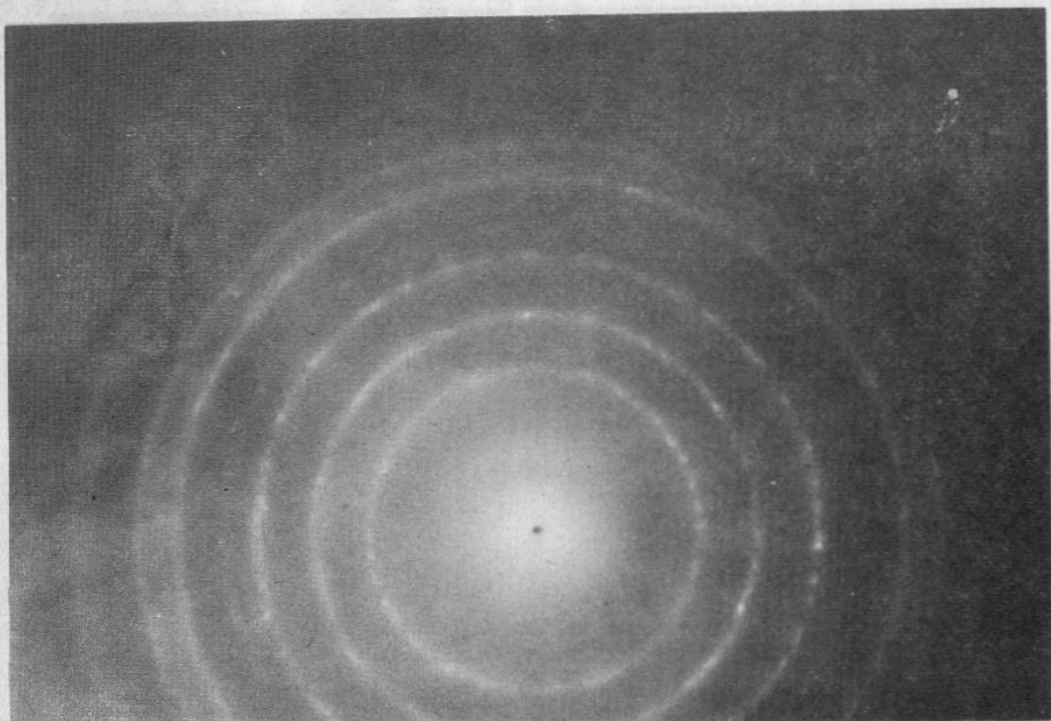
شکل ۴-۳ اکسید تشکیل شده بروی نمونه‌ای از آلیاژ ۱۰۵۰ که به مدت ۲۰ ساعت در بخار آب 80°C بوده رانشان می‌دهد. دیفراکسیون الکترونی این اکسید در شکل ۵-۳ و آنالیز این دیفراکسیون در جدول ۳-۳ نشان داده شده است. بررسی این آنالیز نشان می‌دهد که این اکسید مخلوطی از بوهمیت و بایریت ($\beta\text{-Al}_2\text{O}_3 \cdot 3\text{H}_2\text{O}$) می‌باشد وجود $d = 14/473$ باشد قوی در این نمونه، تازگی دارد که احتمالاً "می‌تواند مربوط به اکسید مخلوطی مانند $(\text{Mg}, \text{FeO})_2(\text{Fe}, \text{Al})_2\text{O}_5, 5\text{H}_2\text{O}$ باشد.



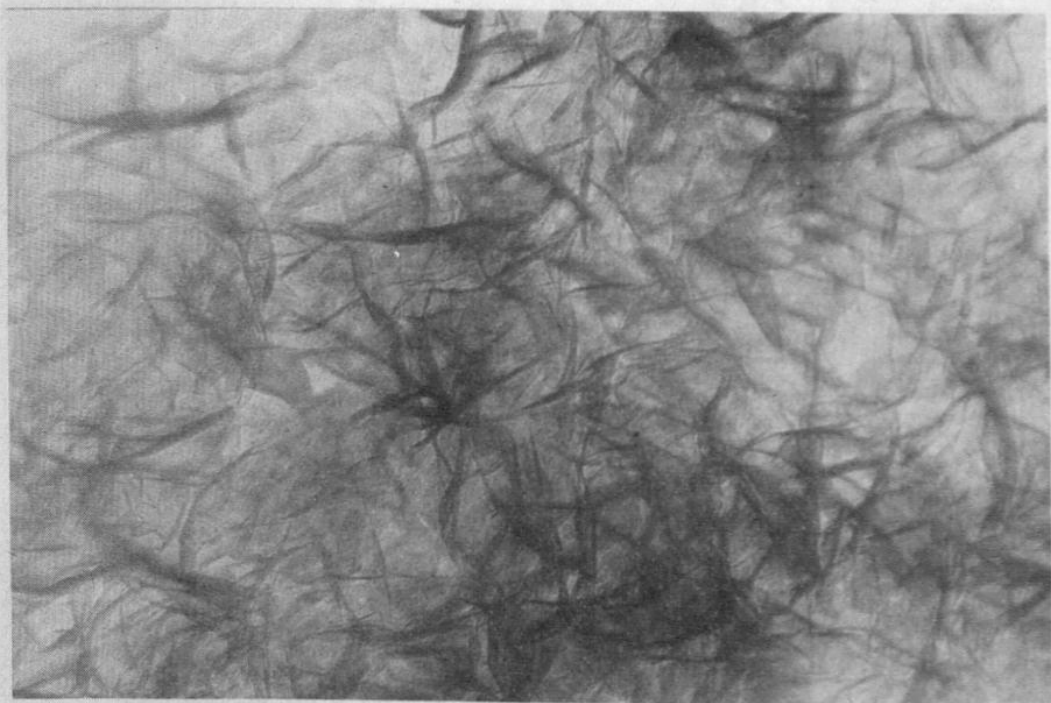
شکل ۱-۳ دیفراکسیون الکترون آلیاژ ۱۱۰۰ که به مدت ۹۵ ساعت در آب ۵۰°C بوده است L=۷۶ cm و ولتاژ شتاب دهنده الکترون ۸۰ کیلوولت بوده است $\lambda = 0.0418 \text{ \AA}$.



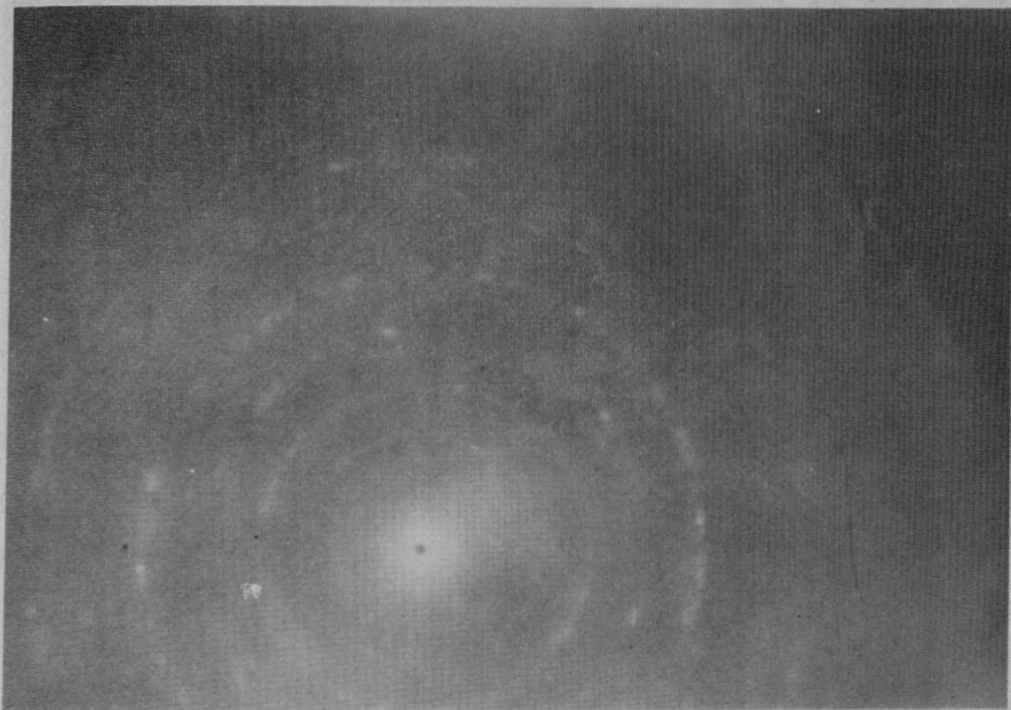
شکل ۲-۳ کریستالهای هیدروکسید تشکیل شده بر روی آلیاژ ۱۱۰۰ در آب ۸۰°C به مدت ساعت ۱۸۰۰۰ درشتندما بی.



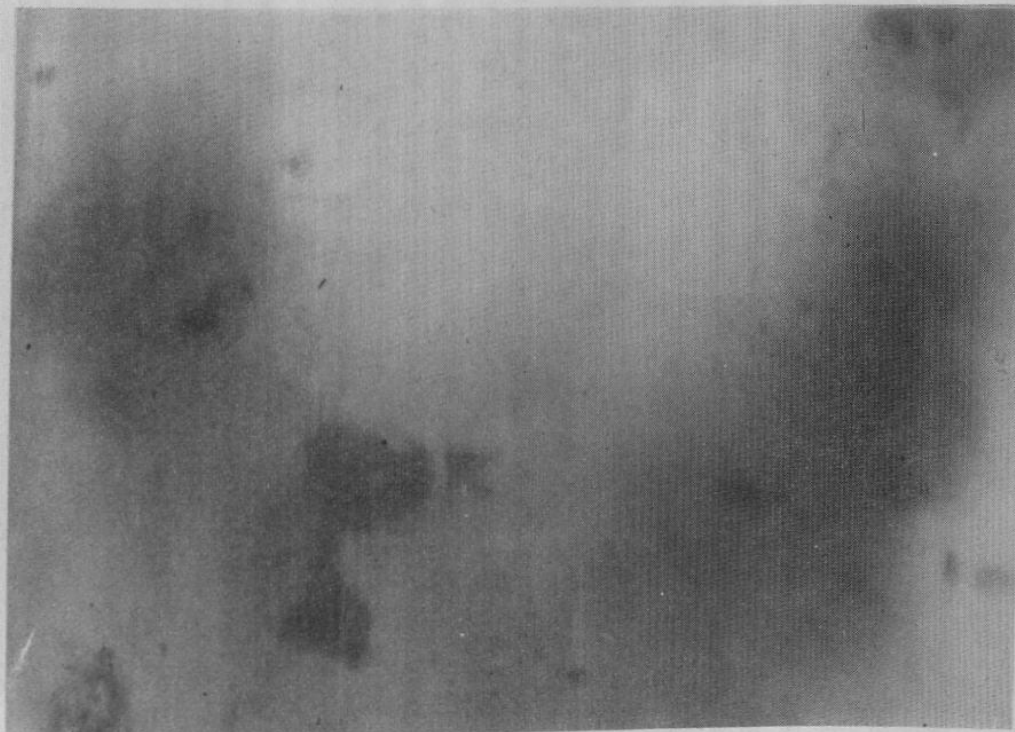
شكل ۳-۳ دیفراکسیون الکترونی شکل ۵-۵ با $L = ۷۶ \text{ Cm}$ و ولتاژ شتاب دهنده الکترون $\lambda = ۰/۰۴۱۸ \text{ A}^{\circ}$ کیلوولت



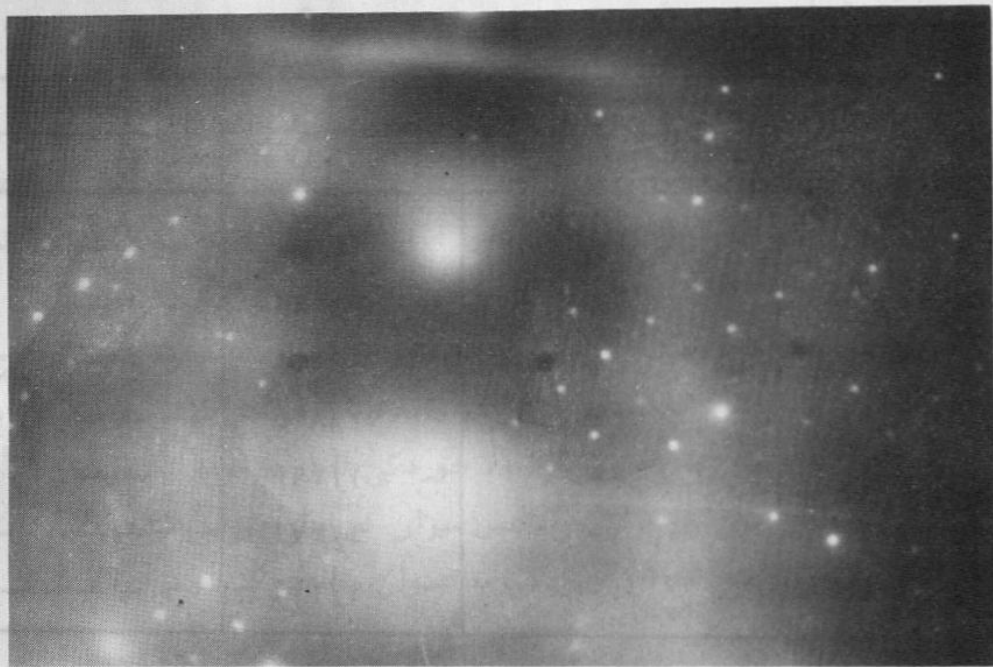
شكل ۴-۳ کریستالهای هیدروکسید تشکیل شده بر روی آلیاز ۱۰۵۰ در بخار آب ۸۰°C به مدت ۲۰ ساعت. درشتنمایی ۳۳۰۰۰



شکل ۳-۵ دیفراکسیون الکترونی حاصل از شکل ۷-۵ با $L=76 \text{ cm}$ و ولتاژ شب
دهنده الکترون $80 \text{ کیلوولت} \quad \lambda=0.0418 \text{ } \text{\AA}$



شکل ۳-۶ فازهای ثانوی موجود در نمونه ۱۱۰۰ که احتمالاً "ذرات غنی از آهن" می‌باشد.
در شتنمایی 16000 .



شکل ۷-۳ دیفراکسیون الکترونی حاصل از فازهای ثانوی شکل ۹-۵ با $L = 76 \text{ cm}$ وولتاژ
شتابدهنده الکترون $80 \text{ کیلوولت} \quad \lambda = 0.0418 \text{ Å}$

A.S.T.M,	$\gamma\text{-Al}_2\text{O}_3$	\AA°	نمونه
d \AA°	شدت نسبی	d \AA°	شدت نسبی
4/56	40	4/6	قوی
2/80	20		
2/39	80	2/647	قوی
2/28	50	2/37	ضعیف
1/977	100	1/535	قوی
1/52	30	1/325	قوی
1/395	100		

جدول ۱-۳ مقایسه خطوط دیفراکسیون شکل ۱-۳ با استاندارد

A.S.T.M,
A γ -AlOOH

A°

نمونه

d A°	شدت نسبی	d A°	شدت نسبی
6/11	100	2/28	شدید
2/164	65	2/422	شدید
2/346	55	1/9	شدید
1/860	30	1/825	ضعیف
1/850	30	1/496	ضعیف
1/453	16	1/471	شدید
1/312	16	1/242	شدید

جدول ۲-۳ مقایسه خطوط دیفراکسیون شکل ۳-۳ با استاندارد

A.S.T.M., β -Al₂O₃.3H₂O

A°

A.S.T.M., γ -AlOOH

A°

نمونه

d A°	شدت نسبی	d A°	شدت نسبی	d A°	شدت نسبی
4/71	90	6/11	100	14/472	شدید
4/35	70	2/164	65	6/241	ضعیف
2/2	30	2/346	55	4/756	شدید
2/222	100	1/86	30	4/406	ضعیف
1/722	40	1/85	30	2/258	شدید
1/6	10	1/453	16	2/444	ضعیف
		1/312	16	2/128	شدید
				1/944	ضعیف
				1/864	شدید
				1/756	ضعیف
				1/532	ضعیف
				1/291	ضعیف

جدول ۳-۳ مقایسه خطوط دیفراکسیون شکل ۳-۵ با استاندارد

نتیجه‌گیری:

- ۱ - این آلیاژها دارای مقادیر زیادی از عنصر Fe بصورت ناخالصی می‌باشند که آنها را از ردود درج خلوص هستدای خارج می‌سازد. همچنین مقاومت کششی آنها از استانداردهای بین‌المللی بیشتر می‌باشد. چنانچه در آینده در ساخت راکتورهای هستدای از آلومینیوم‌های ساخت داخل کشور استفاده شود، لازم است که دو فاکتور بوق درنظر گرفته شود.
- ۲ - در فاصله pH بین ۵ تا ۶ این آلیاژها خوردگی زیادی نشان نمی‌دهند ولی خارج از این فاصله باوجود بد اینکه مقدار خوردگی در رابطه با ضخامت غلاف سوخت در یک دوره کاری ۱۵ تا ۲۰ سال محدود می‌گردد، خوردگی قابل ملاحظه است.
- ۳ - اثر آبیونها بخصوص یون سولفات در کاهش میزان خوردگی بررسی شده است. نقش ایکوند آبیونها در کاهش میزان خوردگی به عنوان ممانعت کننده می‌تواند مورد توجه قرار گیرد.
- ۴ - اثر خلوص آلیاژها در کاهش میزان خوردگی ثابت شده است. نتایج بدست آمده می‌تواند آلیاژ ۱۰۵۵ را نسبت به آلیاژ ۱۱۰۰ در کاربردهای هسته‌ای برتر سازد مشروط به اینکه مشخصات مکانیکی این آلیاژ بتواند جوابگوی استحکام لازم باشد.
- ۵ - اثر یون کلرید در ایجاد خوردگی حفره‌ای نیز بدست آمده است. این نتیجه می‌تواند بد توصیه برای حفظ آلیاژهای آلومینیوم در برابر این یون منجر گردد. حذف یون کلرید در مدارهای اولیه و ثانویه راکتور باید در کنترل کیفیت آب به عنوان یک اصل اساسی مطرح گردد.
- ۶ - تأثیر آنودایزینک در کاهش میزان خوردگی نتیجه شده است. مطالعات وسیع‌تری در این زمینه لازم است ولی تردیدی نیست که از آنودایزینگ بعنوان یکی از بهترین روش‌های حفاظتی آلومینیوم در برابر خوردگی می‌توان بهره‌برداری نمود.
- ۷ - نتیجه آزمایش در استخراج راکتور نیز نشان داده است که آلیاژ ۱۰۵۵ در مورد خوردگی عمومی و حفره‌ای نسبت به آلیاژ ۱۱۰۰ مقاوم‌تر است. خوردگی زیادی که نمونه‌ها نشان داده‌اند، لزوم کنترل بیشتر کیفیت آب مدار اولیه راکتور مرکز تحقیقات هستدای را آشکار می‌سازد. این کنترل به خصوص در مورد pH و میزان ناخالصی‌هایی مانند یون کلرید می‌بایست انجام گیرد.
- ۸ - مطالعات با میکروسکوپ الکترونی عبوری نشان داده است که در آب 80°C پس از ۱۸ ساعت فقط کربستالهای بوهمیت بر روی نمونه بوجود می‌آید. این نتیجه می‌تواند در اختلاف نظری که در رابطه با درجه حرارت بحرانی تشکیل بوهمیت بد عنوان تنها محصول کربستالی خوردگی بر روی آلومینیوم، وجود دارد، نکته‌ای را روشن نماید، که این درجه بحرانی بالاتر از 80°C نمی‌باشد.
- ۹ - فازهای ثانوی با ناخالصی‌های موجود در آلیاژ ۱۱۰۰ ترکیب ناشناختهای می‌باشند و شاخت کامل آنها احتیاج به بررسی بیشتری دارد.

REFERENCES

1. Sperry, P.R. and Bankard, M.H., Metals Handbook, Vol. 8, American Society for Metals (1977).
2. A.S.T.M, Designation : G I-72
3. A.S.T.M, Designation : G 31-72
4. A.S.T.M, Designation : 13137-45 (reproved 1972).
5. Metals Handbook, Vol.2., p.p. 611-634, American Society for Metals (1973).
6. Goodhew, P.J. "Specimen Preparation in Material Science", (1973).
7. Metals Handbook, Vol.1, American Society for Metals (1977).
8. Draley, J.E., "Aq. Corr. 1100 Aluminum and of Al-Ni Alloy, TID-7585(AEC) .
9. Shalby, L.A.Elsobki, K.M. and Abdul Azim, A.A., "Corrosion of Aluminum in Chloride Solutions containing some Anions-I. In 0-02 M NaCl solutions", Corrosion Science Vol.16, p p. 637-643 (1976).
10. Poubaix, M., et al., "Atlas of Electrochemical Equilibria in Aqueous Solution" (1966).
11. Gries, J.C.Savage. H.C., English, J.L., "Effect of Heat Flux on the corrosion of Aluminum by water, ORNL-3541.(1964) .
12. Lowson, R.T., "Aluminum corrosion studies. I, Potential pH-Temperature Diagrams for Aluminum" Aus. J.Chem. No.27, p p. 105-27. (1974).

13. Richman, R.B. "Radiation Effect on Aluminium Filming and corrosion", HW-76642 Feb. (1963).
14. Chang, C.C. and et al, "Aluminium Oxidation in water". J. Electrochem. Soc. Vol '125. No. 5, p p. 787-792, May (1978).
15. Keir, D.S. Pryor, M.J. and Sperry, P.R. "Galvanic Corrosion characteristics of Aluminum, Alloyed with Group IV Metals." J.Electrochem. Soc., Vol, 114, No. 8, pp. 777-782. August(1967).
16. Malachesky, Paul.A., "Aluminum", Chapter VI-3 from Encyclopedia of Electrochemistry of the Elements. Vol VI (1976) .
17. Huddle, R.A.U., "Fundamental Aspects of the corrosion of Aluminum and their Application to Nuclear Reactors." Proceeding of International conference on the Peaceful uses of Atomic Energy Vol. 9, August (1955) .
18. Godard, Hugh. P. et al, "The corrosion of light Metals" (1967) .
19. Hart, R.K. "The Formation of Films on Aluminum Immersed in water" Tran. Faraday Soc., Vol. 53, No. 7, p p. 1020-7, (1957) .
20. Monodlfo, L.F., "Aluminum Alloys, Structure and Properties" (1976) .

THE APPLICATION OF IRANIAN 1050 AND 1100 ALUMINUM
ALLOYS IN NUCLEAR TECHNOLOGY

M.Sang, R.Alani

Nuclear Research Center
Atomic Energy Organization of Iran
P.O.Box 3327,Tehran, Iran

Abstract

In the course of this work, corrosion behaviour of 1050 and 1100 aluminum alloys was investigated in deionized water at 50 °C and at room temperature.

Generally, the weight change measurement and conventional metallographical techniques were used to evaluate corrosion rates and corrosion behaviour of these alloys. Anodizing, as a corrosion protection method was also investigated. In order to study the nature of surface corrosion products a number of specimens were examined in a transmission electron microscope.

The result of this project indicated that the corrosion rate is affected by the degree of purity of alloys, temperature and pH of the aqueous environments. It was found that anodizing is effective in reducing the corrosion rate. It was also found that a severe pitting corrosion could occur by the chloride ions in the environment. Electron diffraction studies showed that gamma alumina, bohemite and bayrite phases were formed as a corrosion products on the surface of corroded alloys.